

新規多分岐グラフトポリマーを用いたナノ構造を有する CO₂分離膜の設計と合成

研究代表者 山口大学大学院医学研究科 助教授 比嘉 充

1. はじめに

地球温暖化は世界のエネルギー政策、環境政策に重要な影響を及ぼす大きな問題である。この地球温暖化の主原因として化石燃料の大量消費に伴う二酸化炭素などの温室効果ガスの大気中への放出が挙げられる。温室効果ガスの大量放出に対する有効な対策法の1つとして、火力発電所などから温室効果ガスを分離膜により省エネルギー的、かつ連続的に分離回収する方法がある¹⁻⁵⁾。この膜に要求される性能は(1)高いCO₂透過性、(2)優れたCO₂/N₂選択性、(3)高機械的強度であり、現在数多くの研究が行われているが、まだ充分な性能の膜は開発されていない。そこで本研究では図1に示す多分岐グラフトポリマーを用いた新規CO₂分離膜の開発を検討する。このグラフトポリマーはまず主鎖となるマクロイニシエータ(MI)を合成し、そのMIに原子移動ラジカル重合(ATRP)法により側鎖をグラフトすることで作製する。このMIにおける主鎖部分とATRPのイニシエーターとなる部分の分子ユニットの共重合組成を変えることでグラフト側鎖の平均距離を、分子量の異なるマクロモノマーをこのMI上にグラフトすることで多分岐グラフト鎖の分岐長さを、さらにATRP法によりグラフト鎖全体の長さを、それぞれ独立かつ精密に制御可能である。これらの構造を制御することでこの多分岐グラフトポリマーをキャスト法により製膜したときに、ナノレベルの相分離構造を形成し、主鎖となる機械的強度の高いポリマー部分が膜マトリックスになり、ガラス転移温度が低くCO₂溶解性の高い側鎖部分がチャンネル状に貫通したCO₂分離に最適なナノ構造を構築することが期待できる。

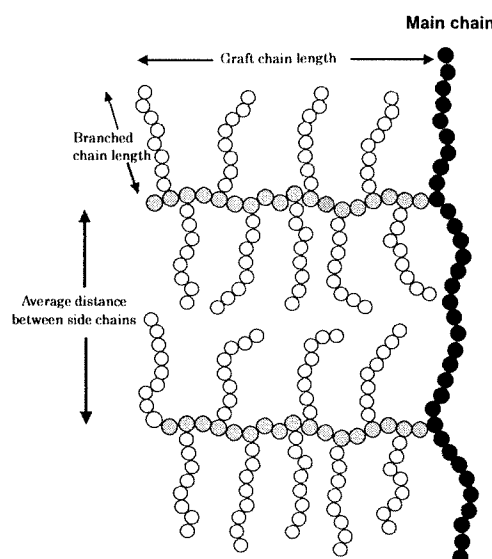


Fig. 1 The proposed structure of a hyper-branched graft copolymer for CO₂ selective membranes. The polymer consists of a main chain and hyper-branched side chains.

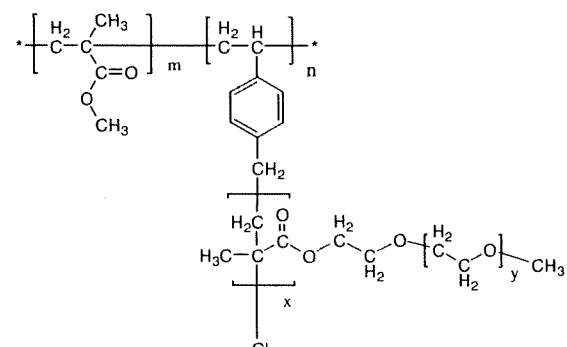


Fig. 2 Chemical structure of the hyper-branched graft copolymer synthesized by grafting POEM macro-monomer on a macro-initiator of poly(MMA-co-CMS) using ATRP.

2. 実験

2.1 ポリマー合成

まずマクロイニシエータ (MI) は Methyl methacrylate [MMA, Aldrich Chemical Co.] と chloromethylstyrene [CMS, Aldrich Chemical Co.] の組成比を変えて共重合し、 MMA/CMS 組成比が約 150 と約 100 の共重合ポリマー poly(MMA-r-CMS) を作製した。これに ATRP 法を用いて poly(ethylene glycol) methyl ether methacrylate [POEM, Aldrich Chemical Co.] をグラフトさせた多分岐グラフトポリマーを作製した。このポリマーの分子構造を図 2 に示す。MI とグラフトポリマーを重クロロホルムに溶解させて ^1H NMR によりこれらの分子構造を解析した。また GPC により MI の分子量、分子量分布を測定した。

2.2 製膜

作製したグラフトポリマーを tetrahydrofuran に溶解させ、テフロンシート上にキャストし、50°Cで加熱することで製膜した。

2.3 機械的強度

引張り試験機[Shimadzu EZ-Test]を用いて、7[mm/min]の引張り速度において作製した膜の応力・歪曲線を測定し、この曲線からそれぞれの膜の最大破断強度 σ とヤング率 E を算出した。

2.4 ガス透過実験

得られた膜における CO_2 、 N_2 の純ガス透過実験を真空タイムラグ法透過装置（ツクバ理科精機株、N-500）を用いて行った。測定条件

は 35°C、1atm である。図 3 は実験で作製した CO_2 分離膜の純ガス透過実験の低圧側における圧力-時間曲線の一例である。この図の直線の傾き ($\Delta P / \Delta t$) から透過係数 P 、遅れ時間 θ から見かけの拡散係数 D を算出した。そして $P = D \cdot S$ の式より見かけの溶解度係数 S を算出し、また CO_2 、 N_2 ガスの透過係数の値から CO_2 選択透過性を示す CO_2 と N_2 の透過係数比 $P_{\text{CO}_2} / P_{\text{N}_2}$ を算出した。

3. 研究結果

3.1 ポリマー合成結果

NMR を用いて算出した MI : poly(MMA-r-CMS)における MMA と CMS のモル比 (R_{MI})、グラフトポリマー中の POEM 含有量 Cp を膜厚と共に Table 1 に示す。この R_{MI} が大きくなる

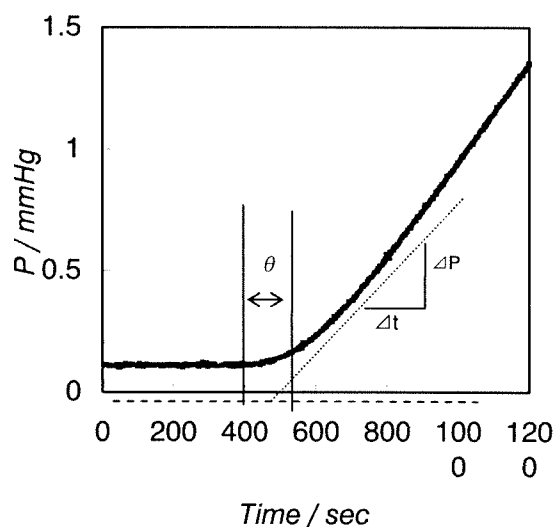


Fig. 3 A typical time-pressure curve of the gas permeation experiment.

Table 1 Characteristics of sample membranes
 R_{MI} : MMA/CMS mole ratio in the macro initiator, Cp : POEM content calculated from NMR data, and d : membrane thickness.

Sample	R_{MI} [-]	Cp [wt%]	d [μm]
M1	43	22	72.0
M2	140	47	165
M3	150	72	155

ほどグラフトポリマー中の平均側鎖間距離が長くなる。ここでは示していないが、この R_{MI} は仕込みの MMA/CMS 比とよい相関が得られたことから、MI の重合における MMA/CMS 比を変えることで、MI の R_{MI} の値を制御可能であることが判明した。また Cp が大きくなるほどグラフト側鎖が長くなり、この値も ATRP における POEM モノマーの量に対してよい相関が得られた。

3.2 機械的強度の結果

図 4 にこの膜における引張り試験から得られた応力・歪曲線の一例を示し、この曲線から得られた最大破断強度 σ 及びヤング率 E と POEM 含有量 Cp との関係を表 2 に示す。この結果より作製した POEM グラフトポリマーの σ 及び E は Cp が増加するにつれて共に低下する傾向にあることが判明した。これは Cp が増加すると、膜マトリックスの機械的強度を与える MMA 相の含有量が低下するためである。しかしながら、本研究で作製した膜は、 Cp の最も多い M3 の膜でも σ は 2.7 MPa という値を示しており、分離膜としては十分な機械的強度を有していた。

3.3 ガス透過実験の結果

図 5 に作製した分離膜における CO_2 及び N_2 の透過係数 P と POEM 含有量 Cp との関係を示す。 Cp が増加すると N_2 透過性はほとんど変化しないが、 CO_2 透過性は増大している。これは膜中の MMA 相よりも POEM 相における CO_2 の選択透過性が高いことが原因と考える。また 72wt%POEM を含む M3 の膜の CO_2 透過係数は 100 Barrer であり、 CO_2 と N_2 の透過係数の比 $P_{\text{CO}_2}/P_{\text{N}_2}$ は 53 と高い値を示した。

この膜の CO_2 選択透過性が高い原因を検討するために、 CO_2 及び N_2 の拡散係数 D を遅れ時間から算出し、POEM 含有量 Cp との関係を求めた結果を図 6 に示す。 Cp の増加に伴い CO_2 及び N_2 の拡散

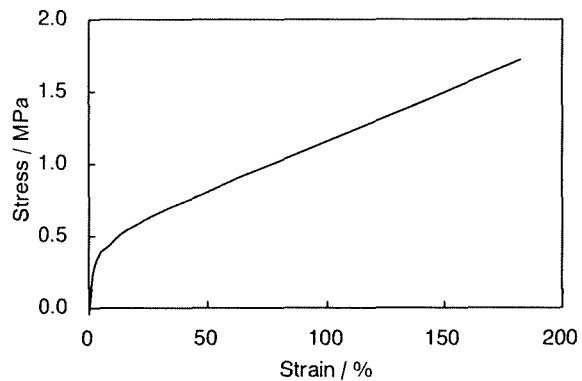


Fig. 4 Stress-strain curve of sample membrane M2.

Table 2 Characteristics of sample membranes
 σ : Maximum strength, E : Young's modulus

Sample	Cp [wt%]	σ [MPa]	E [MPa]
M1	22	41	1400
M2	47	4.1	15
M3	72	2.7	0.29

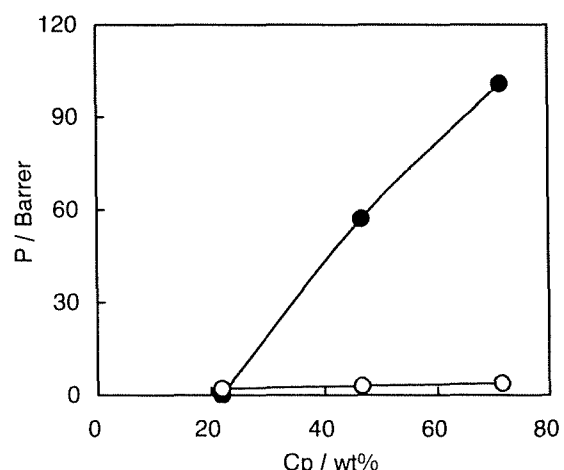


Fig. 5 Permeability coefficient of CO_2 and N_2 gases through the membranes as a function of Cp content in the membranes.

● : CO_2 , ○ : N_2

係数 D は共に増大した。このことから CO_2 及び N_2 の気体分子は膜中の MMA 相よりもガラス転移温度の低い POEM 相において拡散性が高いと考えられる。そのためこの分離膜中の C_p を増やすことによりガス透過性の増大が期待できる。

次に溶解度係数 S と POEM 含有量 C_p との関係を図 7 に示す。POEM を 47wt% 以上含有した膜では、 CO_2 溶解性は大きいが N_2 溶解性は小さい。また 72wt%POEM を含む M3 の膜では溶解度係数 S_{CO_2} が S_{N_2} の 83 倍大きかった。図 6 に示すようにこの膜中の CO_2 と N_2 の拡散係数には大きな違いがみられないので、この膜における高 CO_2 選択透過性の原因は POEM 相中の高い CO_2 溶解性にあると考えられる。

これらのことより、72wt%POEM を含む M3 の膜の CO_2 と N_2 の透過係数の比 $P_{\text{CO}_2}/P_{\text{N}_2}$ が 53 と高い値を示したのは、分子径サイズの近い CO_2 と N_2 の拡散係数 D によるものではなく、 CO_2 と N_2 の POEM 相中における溶解度係数 S の違いによるものであると考えられる。また先に示したように、この膜は分離膜として十分な機械的強度を有していることから、薄膜化により CO_2 透過性がより向上すると考えられる。

4. 終わりに

本研究において作製した多分岐グラフトポリマーはマクロイニシエータ作製時のグラフト鎖間距離や主鎖の種類、ATRP を行う際の POEM のグラフト鎖種、グラフト鎖長あるいは、主鎖の種類を変えることで、より高い CO_2/N_2 ガス分離性・透過性、機械的強度を有する分離膜の作製が期待できる。

POEM は CO_2 に対して高い親和性を有するだけでなく、Li イオンなどと溶媒和することが知られている。本研究で作製したグラフトポリマーを用いて作製したりチウム二次電池用、及び色素増感太陽電池用の完全固体高分子電解質は高い機械的強度と比較的高いイオン伝導度を有するとの結果を得ており、このポリマーはガス分離膜だけではなく、電池用材料への応用も期待できる。

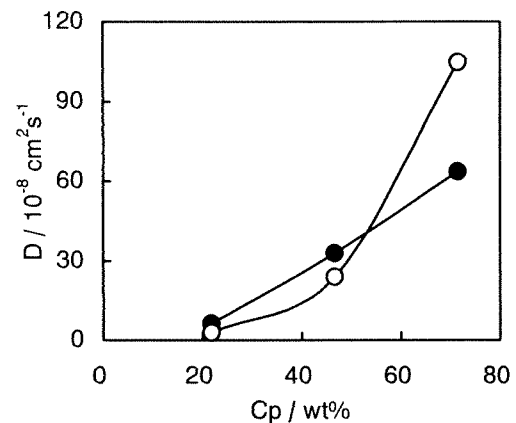


Fig.6 Diffusion coefficient of CO_2 and N_2 gases through the membranes as a function of C_p content in the membranes.

● : CO_2 , ○ : N_2 .

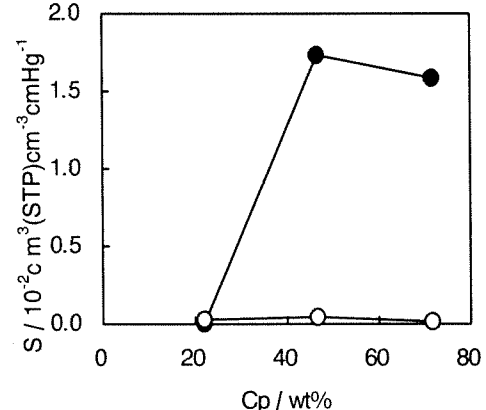


Fig.7 Solubility coefficient of CO_2 and N_2 gases in the membranes as a function of C_p content.

● : CO_2 , ○ : N_2 .

謝辞

本研究の遂行に当たり、多大な援助を頂きました JFE 21世紀財團に心から感謝の意を表します。

参考文献

- 1) Oliver H. LeBLANC, Jr., Willoam J. Ward, Stephen L. Matson and Shiro G. Kimura, *J.Memb.Sci.*, 6, 339 (1980)
- 2) S.A. Stern, Y. MI and H. Yamamoto, *J. Polym. Sci. Polym. Phys.*, 27, 1887 (1989)
- 3) H. Yamamoto, Y. MI and S.A. Stern, *J. Polym. Sci. Polym. Phys.*, 28, 2291 (1990)
- 4) Ken-ichi Okamoto, Masafumi Hujii, Shuusaku Okamyo, Hajime Suzuki, Kazuhiko Tanaka and Hidetoshi Kita, *Macromoleclues*, 28, 6950 (1995)
- 5) Makoto Yoshino, Hidetoshi Kita, Ken-ichi Okamoto, Masato Tabuchi and Takaaki Sakai, *Tran. Mater. Res. Soc. J.*, 27 (2), 419 (2002)

発表論文

- [1] Mitsuru Higa, Satsuki Egashira, and Yukiko Fujino
CO₂ selective membranes Prepared from Hyper-branched Graft Polymers by Atom Transfer Radical Polymerization
Tran. Mater. Res. Soc. J., **29** (6), 2603-2606 (2004).
- [2] Mitsuru Higa, Taihei Koumoto, Ryousuke Kitani, Nobutaka Endo and Koji Matsusaki
Synthesis and characterization of a hyper-branched graft polymer for solid polymer electrolyte
Tran. Mater. Res. Soc. J., **29**(6), 2611-2614 (2004).
- [3] Mitsuru Higa, Yukiko Fujino, Taihei Koumoto, Ryousuke Kitani and Satsuki Egashira
All solid-state polymer electrolytes prepared from a hyper-branched graft polymer using atom transfer radical polymerization
to be submitted.

国際学会発表

- [1] Satsuki Egashira, Yukiko Fujino and Mitsuru Higa
CO₂ selective membranes Prepared from Hyper-branched Graft Polymers by Atom Transfer Radical Polymerization
The 8th IUMRS International Conference on Advanced Materials, Tokyo, Japan,

2003.10.11.

The Abstracts of IUMRS-ICAM 2003, Abstracts2 C&D, p85

[2] Satsuki Egashira, Mitsuru Higa and Koji Matsusaki

CO₂ selective membranes prepared from hyper-branched graft polymers

Gordon Research Conferences, COLBY-SAWYER COLLEGE, New London, U.S.A,
2004.8.4.

[3] Mitsuru Higa, Yukiko Fujino, Taihei Koumoto, Ryousuke Kitani and Satsuki Egashira

Solid polymer electrolytes prepared from a hyper-branched graft polymer using atom transfer radical polymerization

Gordon Research Conferences, COLBY-SAWYER COLLEGE, New London, U.S.A
2004.8.4.

[4] Mitsuru Higa, Yukiko Fujino, Taihei Koumoto, Ryousuke Kitani and Satsuki Egashira

All solid-state polymer electrolytes prepared from a hyper-branched graft polymer using atom transfer radical polymerization

The 9th International Symposium on Polymer Electrolytes, Mragowo, Poland,
2004.8.22-27

The abstracts of the 9th International Symposium on Polymer Electrolytes, p63-64.